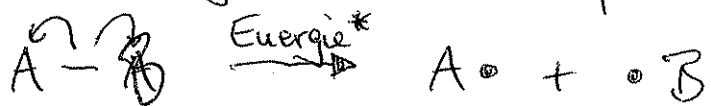


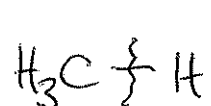
# Mechanismen

## 1a. Radikalische Substitution

Bildung von Radikalen durch homolytische Spaltung einer homöopolaren Bindung



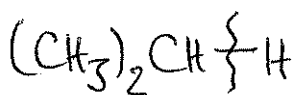
\* Wärmeenergie (Thermolyse) → Crack-Prozesse (techn.)



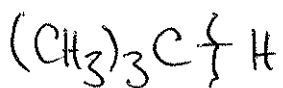
Dissoziationsenergie

$$\Delta H^{\text{diss}} = 435 \text{ kJ/mol (25°C)}$$

$$\hookrightarrow T > 900^\circ\text{C}$$



$$396$$

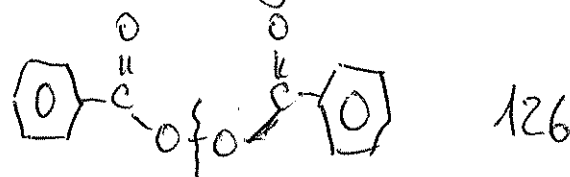


$$385$$

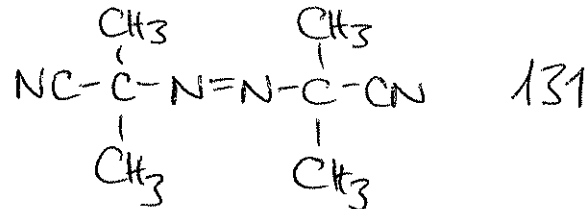
Stabilität von C-Radikalen:  $3^\circ > 2^\circ > 1^\circ$

→ "Verschierung" des Elektronendefizits

Peroxide



Azoverbindungen



→ Spaltung bei wenig erhöhten Temperaturen  
 $70 - 150^\circ\text{C}$  ( $\Delta H^{\text{diss}} = 120-170 \text{ kJ/mol}$ )

\* Strahlungsenergie (Photolyse, Radiolyse)

$$\text{Lichtquant: } E = h\nu = h \frac{c}{\lambda}$$

$h$ : Planck'sches Wirkungsquantum

$\nu$ : Frequenz

$\lambda$ : Wellenlänge

$c$ : Lichtgeschwindigkeit

UV-Licht,  $\lambda = 300 \text{ nm}$ :  $E = 400 \text{ kJ/mol}$

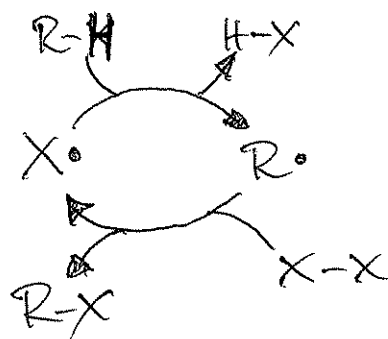
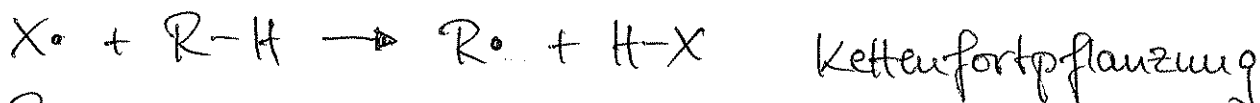
→ Spaltung der meisten Bindungen

\* Chemische Energie (Redoxprozesse)

\* Mechanische Energie (Ultraschall, Vermahlung, ...)

Radikalische Halogenierung von Kohlenwasserstoffen:

Radikalkettenreaktion



} Kettenabbruch  
(Rekombination)

Inhibitoren:  $O_2$  (Diradikal), Hydroxidion

Energiebilanz: Halogenierung von Methan



X	F	Cl	Br	I
$\Delta H$ (kJ/mol)	-430	-104	-31	+53
	↓			↓
Stark exotherm (explosionsartig)				endotherm (keine Reaktion)

## Reaktivität

Radikal  $\text{F}\cdot > \text{OH}\cdot > \text{Cl}\cdot > \text{CH}_3\cdot > \text{Br}\cdot$

Substrat	Benzyl	Allyl	$3^\circ\text{-CH}$	$2^\circ\text{-CH}$	$1^\circ\text{-CH}$
	$\text{C}_6\text{H}_5\text{CH}_2\text{H}$	$\text{CH}_2=\text{CH}-\text{CH}_2\text{H}$	$\text{R}_3\text{C}\text{H}$	$\text{R}_2\text{CH}\text{H}$	$\text{RCH}_2\text{H}$

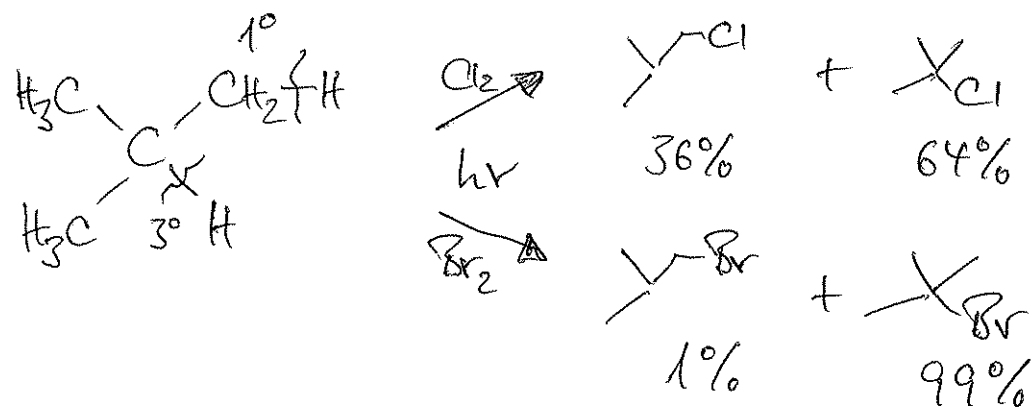
  

	$\Delta H^{\text{diss}}$ (kJ/mol)	371	385	396	435 (R=H)
	356				

## Merke 1: Relative Reaktivitäten

	$1^\circ\text{-CH}$	$2^\circ\text{-CH}$	$3^\circ\text{-CH}$	(Butan / Isobutan)
$\text{F}\cdot$	1	1.2	1.4	→ niedrige Selektivität
$\text{Cl}\cdot$	1	3.9	5.1	
$\text{Br}\cdot$	1	32	1600	→ hohe Selektivität

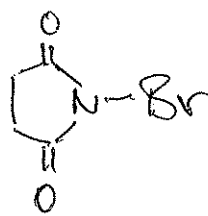
Merke: Große Reaktivität bedingt geringe Selektivität und umgekehrt  
(→ HAMMOND - Postulat)



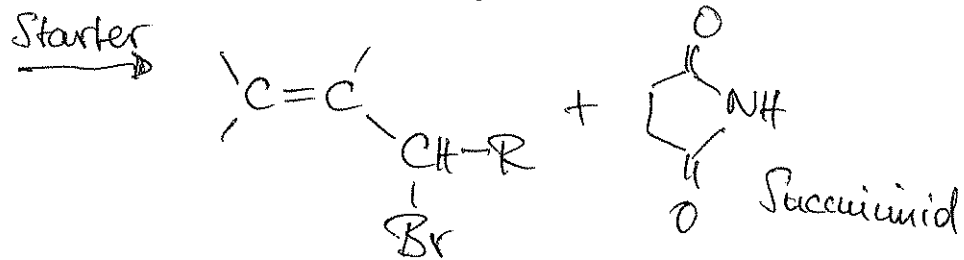
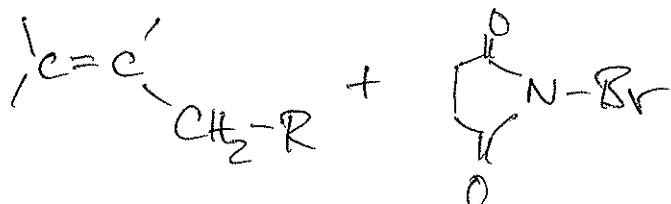
- Chlorierung:
- Elementares Chlor,  $\text{Cl}_2$  (gas)
  - Sulfurylchlorid,  $\text{SO}_2\text{Cl}_2$   $\text{S}-\overset{\overset{\bullet}{\text{O}}}{\underset{\underset{\bullet}{\text{O}}}{\text{C}}}-\text{Cl}$
- $$\text{RH} + \text{SO}_2\text{Cl}_2 \xrightarrow[\text{Starter}]{\text{H}_2\text{O}} \text{RCl} + \text{SO}_2 + \text{HCl}$$
- Starter:  $\text{C}_6\text{H}_5\text{CO}_2\text{O}_2 \xrightarrow{\Delta} 2\text{C}_6\text{H}_5\text{CO}_2\text{O} \downarrow -2\text{CO}_2$
- $$2 \text{C}_6\text{H}_5\text{CO}_2\text{O}^{\bullet}$$
- $$\text{O}^{\bullet} + \text{SO}_2\text{Cl}_2 \rightarrow \text{O-Cl} + \text{SO}_2\text{Cl}$$
- $$\text{SO}_2\text{Cl} + \text{RH} \rightarrow \text{R}^{\bullet} + \text{SO}_2 + \text{HCl}$$
- $$\text{R}^{\bullet} + \text{SO}_2\text{Cl}_2 \rightarrow \text{R-Cl} + \text{SO}_2\text{Cl} \text{ usw.}$$
- N-Chloramine,  $\text{R}_2\text{N-Cl} + \text{H}_2\text{SO}_4$   
 $\rightarrow$  Selektive Chlorierung von Alkyl-halogeniden, Alkoholen und Fett-säuren (ester) in ( $\omega-1$ )-Stellung
- 

## Bromierung:

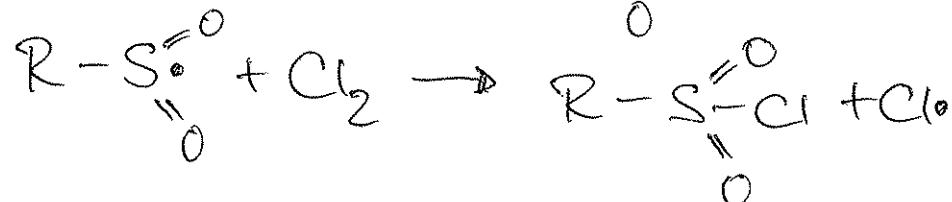
- Elementares Brom,  $\text{Br}_2$  (fl.)
- N-Bromsuccinimid (~~NBS~~)



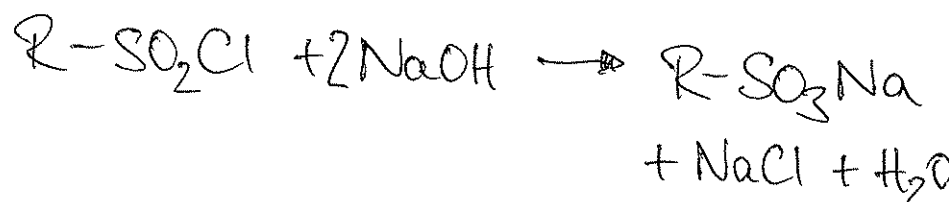
Bromierung von Olefinen  
in Allylstellung unter  
Erhalt der Doppelbindung



## Sulfochlorierung: $\text{Cl}_2 / \text{SO}_2$





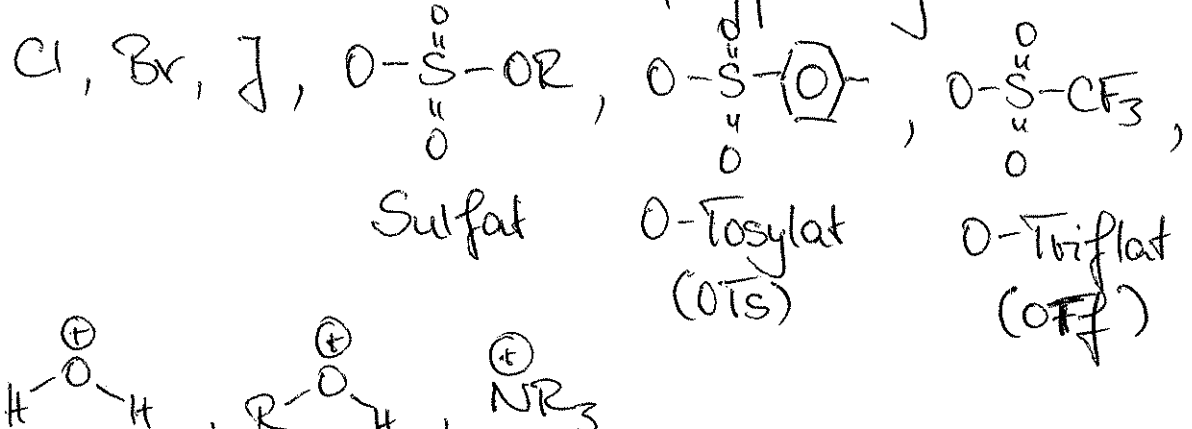
# 1b. Nukleophile Substitution am gesättigten C-Atom



$Y =$  Nukleophil: Neutralstoffe mit freiem Elektronenpaar oder Anionen



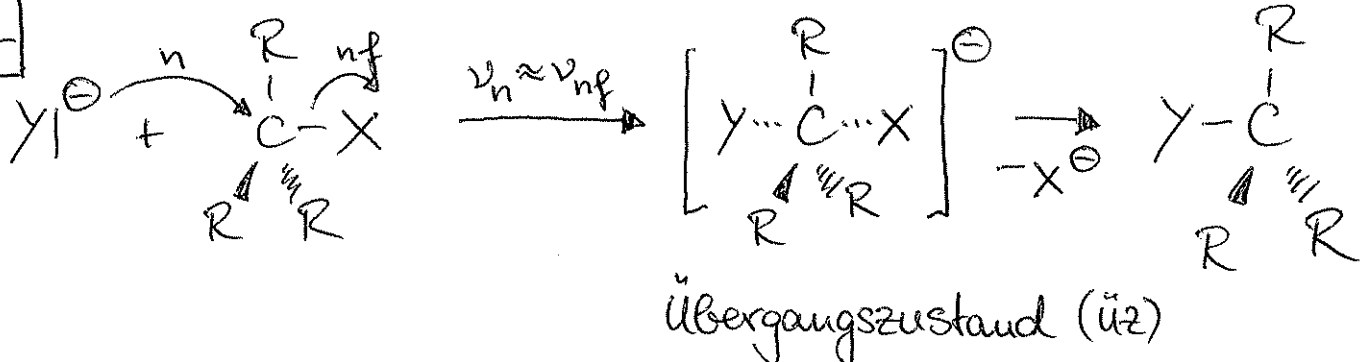
$X =$  Nukleofug oder Abgangsgruppe:  
elektronenanziehende Gruppierung



Nukleophile Substitution:  $S_N$

Abspaltung von  $X$  und Aulagerung von  $Y$   
kann entweder gleichzeitig (konzertiert  $\rightarrow S_{N2}$ )  
oder nacheinander (stufenweise  $\rightarrow S_{N1}$ )  
erfolgen.

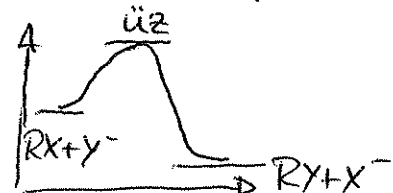
**S<sub>N</sub>2**



Übergangszustand (ÜZ)

Reaktion 2. Ordnung (bimolekulare Reaktion):

$$-\frac{d[RX]}{dt} = k_2 [RX][Y]$$



d.h. Reaktionsgeschwindigkeit hängt von der Konzentration beider Reaktanden ab.

Sonderfall: Solvolyse, Nukleophil ist gleichzeitig Lösungsmittel

$$[RX] \ll [Y^-] \approx \text{const.}$$

$$\rightarrow -\frac{d[RX]}{dt} = \underbrace{k_2[Y^-]}_{k'_2} [RX] \quad \text{pseudo-1. Ord.}$$

Bsp.: Alkalische Hydrolyse von Methylhalogeniden



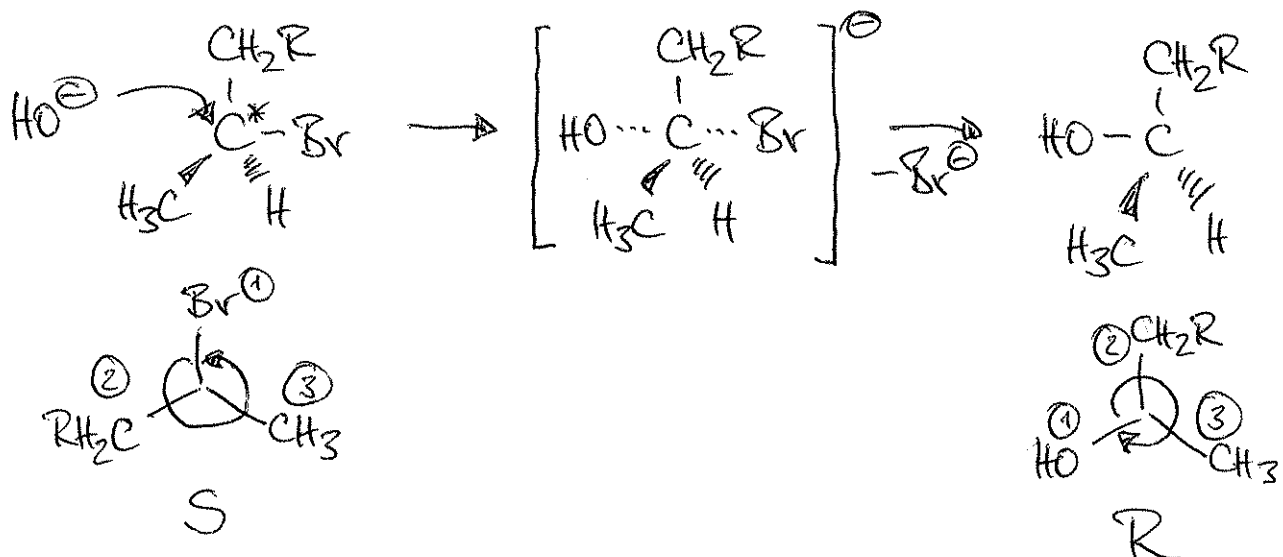
Sterischer Verlauf:

Angriff des neu eintretenden Substituenten von der "Rückseite" des Tetraeders

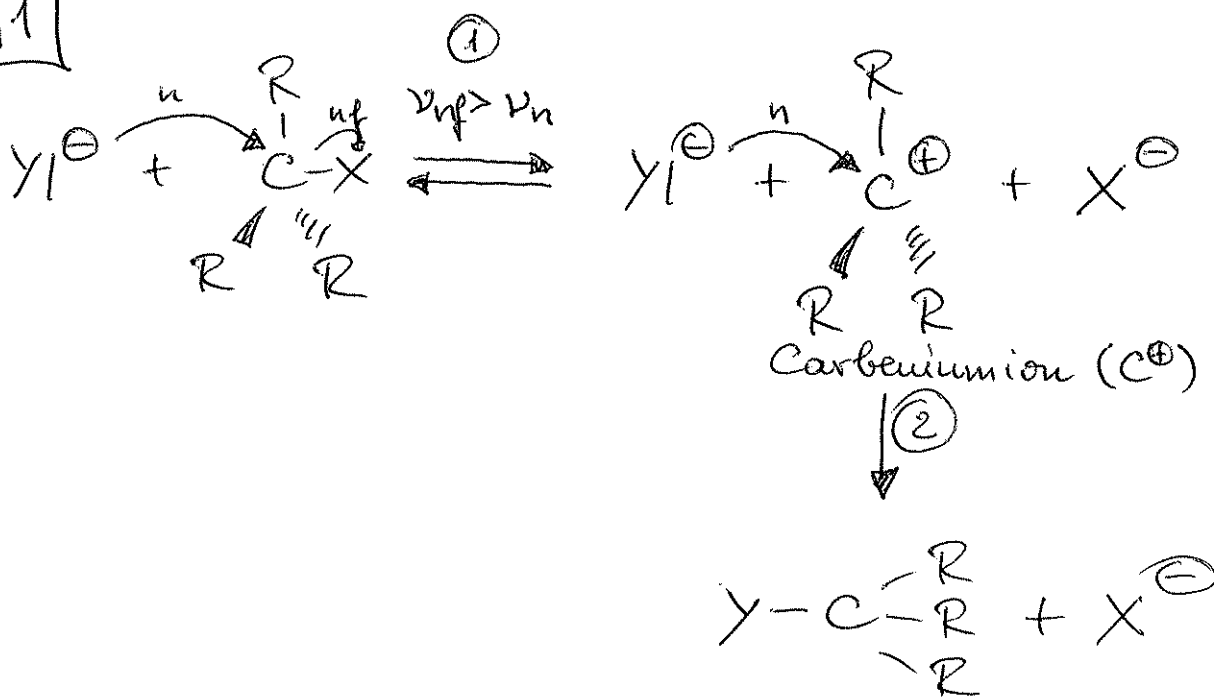
→ ÜZ: trigonale Bipyramide

→ Inversion der Konfiguration ("Walden-Umkehr")  
Regenschieneffekt

Bsp.: Alkalische Hydrolyse höherer 2-Brom-alkane



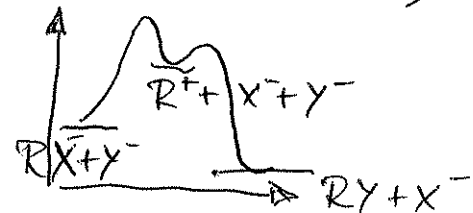
$\boxed{\text{S}_{\text{N}}1}$



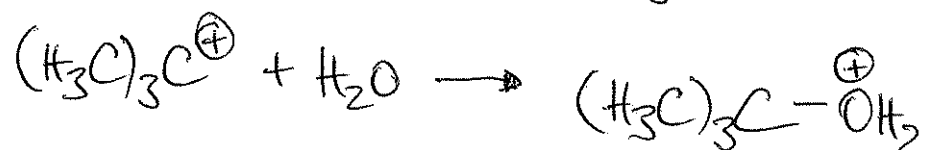
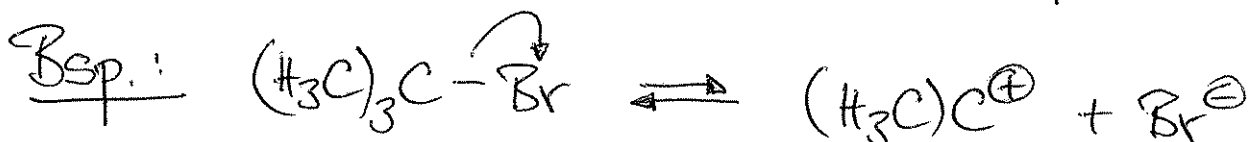
- ① Heterolytische Spaltung der C-X Bindung
  - Bildung eines energiereichen (hochreaktiven) Carbeniumions
  - langsamer und damit geschwindigkeitsbestimmender Schritt
- ② Angriff des Nukleophils an  $\text{C}^+$  → sehr schnell

Reaktion 1. Ordnung (monomolekulare Reaktion):

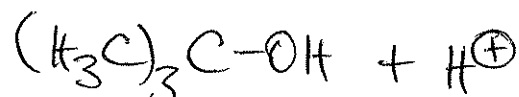
$$-\frac{d[RX]}{dt} = k_1 [RX]$$



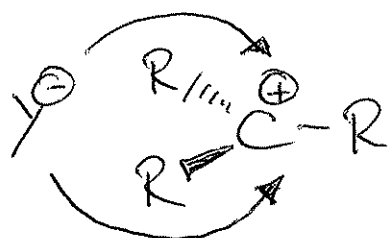
d.h. Reaktionsgeschwindigkeit hängt nicht von der Konzentration des Nukleophils ab.



Oxoniumion



Sterischer Verlauf:



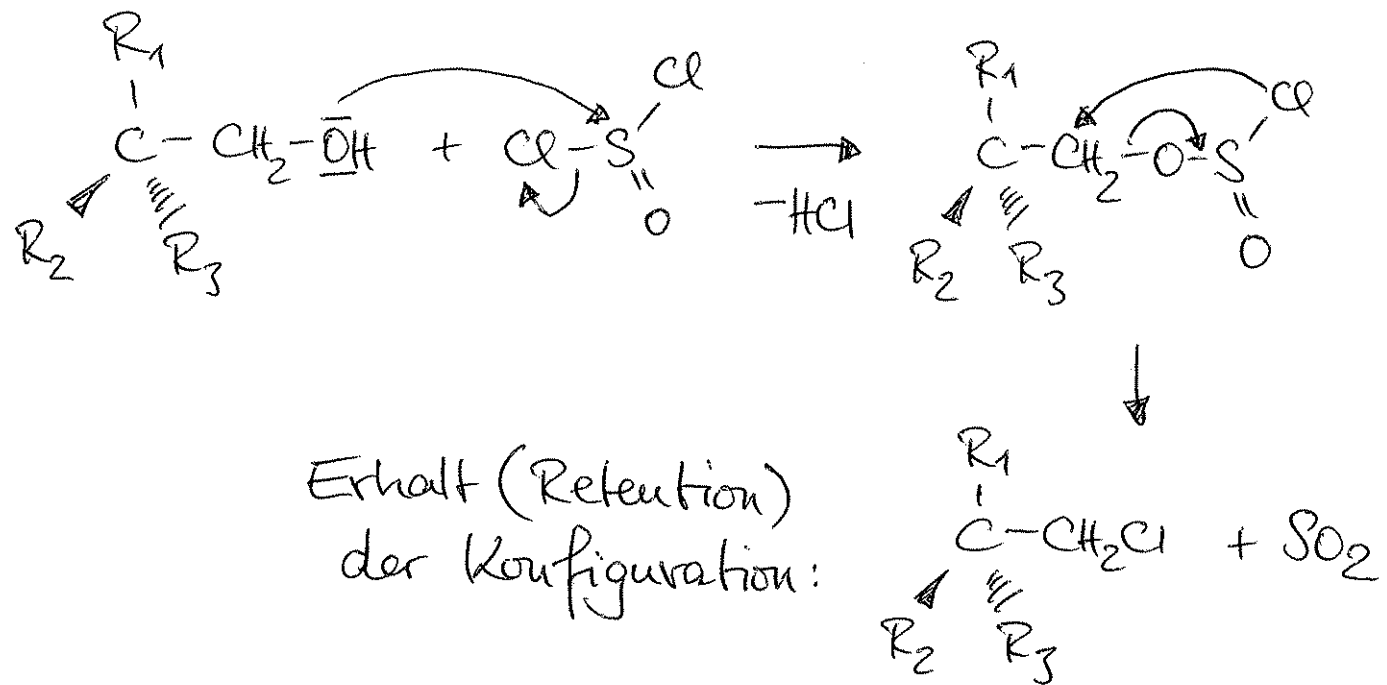
Carbeniumion: trigonal planar

→ Gleiche Wahrscheinlichkeiten für die Anlagerung des Nukleophils von der einen oder anderen Seite der Ebene

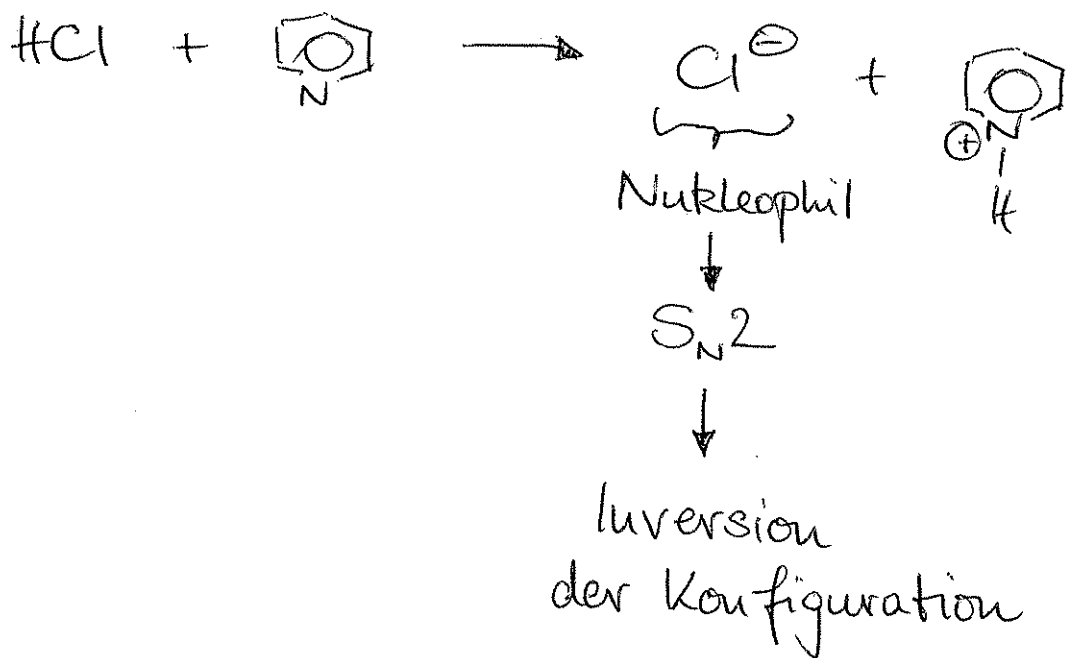
→ Racemisierung chiraler Zentren  
(Retention + Inversion)

Außer  $S_N1/2$

Sonderfall: Lineare unkatalytische Substitution,  $S_N1$ :



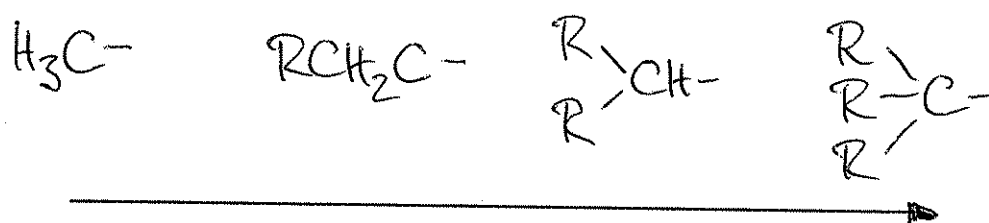
In Gegenwart von Pyridin (Base):



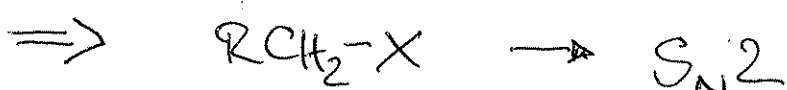
Faktoren, die den Verlauf einer  $S_N$ -Reaktion beeinflussen:

- Struktur des Substrats
- Qualität des Lösungsmittels
- Qualität des Nukleofugs / Nukleophils

### Struktur des Substrats

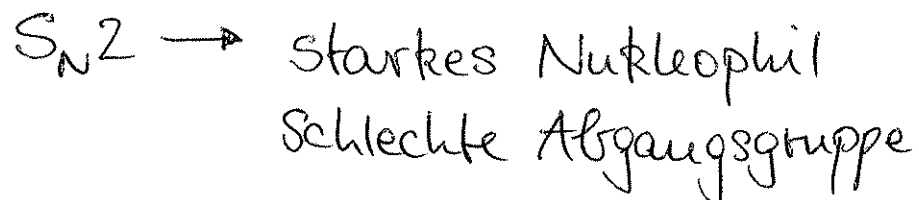
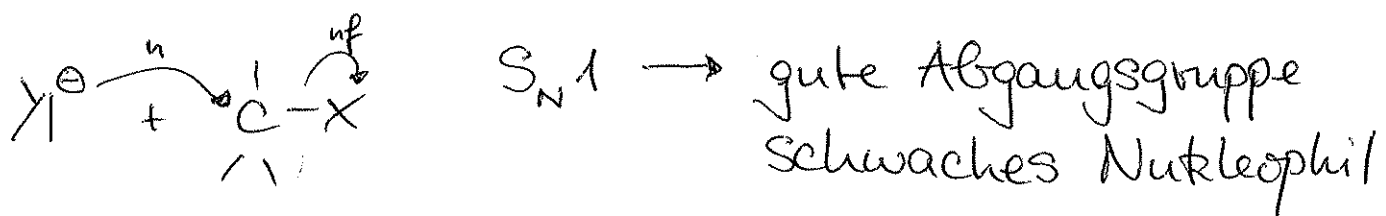


- zunehmende Stabilisierung des Carbeniumions durch Substituenten mit +I / +M - Effekt: Hyperkonjugation
- zunehmende sterische Abbau Spannungen beim Übergang tetragonale  $\rightarrow$  trigonal planar
- zunehmende sterische Hinderung einer konzentrierten ~~Struktur~~ Reaktion

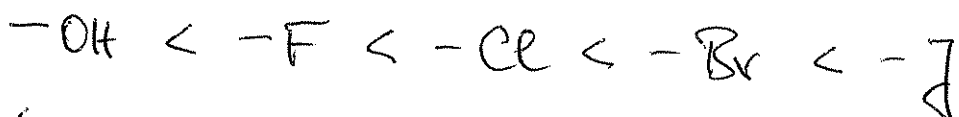


je nach Reaktionsbedingungen

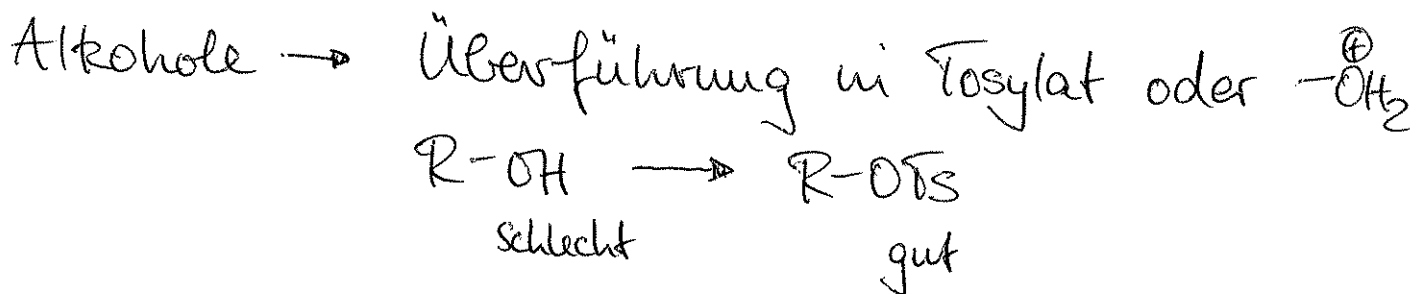
## Art des Nukleofugs / Nukleophils



Gute Abgangsgruppen sind schwache Basen bzw.  
 starke konjugierte Säuren  $\rightarrow$  niedriger pKa



(in gleicher Reihe abnehmende  $\Delta H^{\text{diss}}$ )



Starke Nukleophile sind starke Basen  $\rightarrow$  hoher pKa



Veränderte Reihenfolge je nach Qualität des Lösungsmittels! Korrelation der Nukleophilie mit Basizität (aprotische LM) oder Polarisierbarkeit (protische LM).

## Qualität des Lösungsmittels

Einteilung in protische und aprotische LM.

Protische LM → acide H-Atome  $\text{H}^+ \cdots \delta^- \text{O}-\text{R}$

Wasser, Alkohole, Carbonsäuren  
(Protonendonatoren)

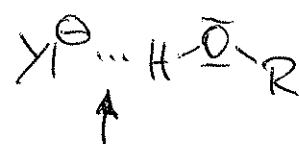
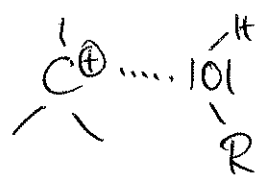
Aprotische LM → keine aciden H-Atome

DMSO, DMF, HMPTA, Ketone,  
Ether, Kohlenwasserstoffe

(Grobes) Maß für die Polarität eines Lösungsmittels:  
Dielektrizitätskonstante ( $\epsilon_K$ ) ( $\rightarrow$  Tabelle)

$S_N$ -Reaktionen laufen bevorzugt in polaren LM.

Protische LM → Stabilisierung von Kationen  
als auch Anionen



Wasserstoffbrückenbindung (nicht möglich in aprotischen LM)

→ Absenkung der Nukleophilie  
 $\text{J}^{\ominus} < \text{F}^{\ominus}$

$\rightarrow S_{N}1$

Aprotische LM →  $S_{N}2$

$\Rightarrow$  polar aprotisch  $\rightarrow S_N2$   
 polar protisch  $\rightarrow S_N1$

Bsp.: Solvolyse von tert.-Butylchlorid,  $S_N1$   
 (Bildung von  $(\text{H}_3\text{C})_3\text{C}^+$ )

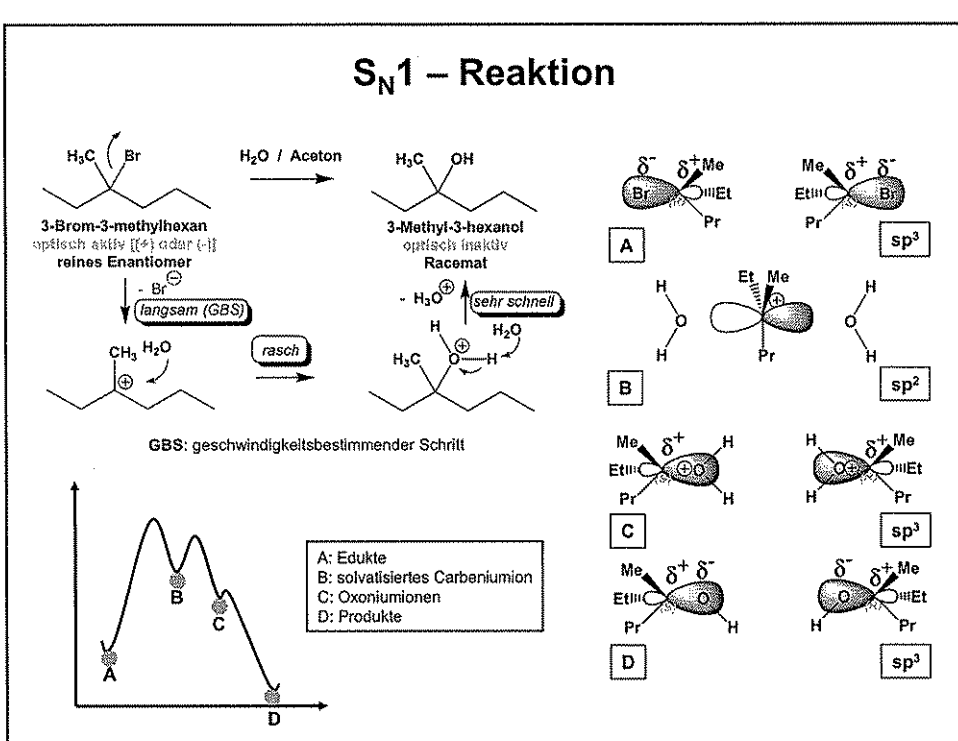
LM	Ethanol	Ameisensäure	Wasser
$k_{\text{rel}}$ $(25^\circ\text{C})$	1	$\sim 1.2 \cdot 10^4$	$\sim 3.4 \cdot 10^5$

Finkelsteinkaktion,  $S_N2$

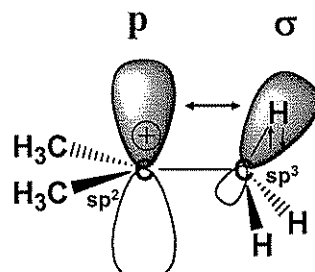


LM	Aceton	Methanol
$k_{\text{rel}}$	$10^5$	1

## $S_N1$ – Reaktion



## Hyperkonjugation



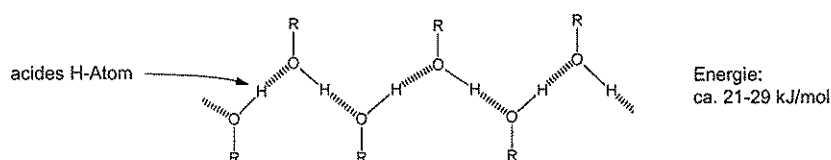
WW zwischen  $\sigma$ -C-H Orbital (2 Elektronen)  
und p Orbital des Carbenium Ions (0 Elektronen)  
(d.h. die  $\sigma$ -Elektronen haben eine bestimmte Aufenthaltswahrscheinlichkeit im p Orbital)

## Einige protische und aprotische LM

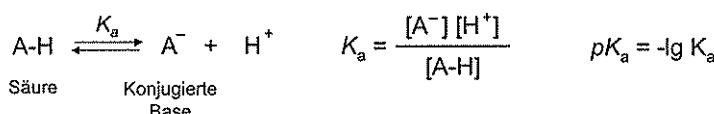
protische LM	Formel	DK	aprotische LM	Formel	DK	
Wasser	H <sub>2</sub> O	78	Dimethylsulfoxid (DMSO)		45	polar
Ameisensäure	HCO <sub>2</sub> H	59				
Methanol	MeOH	33	Acetonitril	CH <sub>3</sub> CN	38	
Ethanol	EtOH	24				
Isopropylalkohol	iPrOH	18	Dimethylformamid (DMF)		37	
tert.-Butylalkohol	tBuOH	11				
Essigsäure	CH <sub>3</sub> CO <sub>2</sub> H	6	Hexamethylphosphorsäuretriamid (HMPTA)		23	
			Aceton	(CH <sub>3</sub> ) <sub>2</sub> C=O	20	
			Tetrahydrofuran (THF)		7	
			Diethylether	Et <sub>2</sub> O	4	
			Benzol	C <sub>6</sub> H <sub>6</sub>	2	
			Tetrachlorkohlenstoff	CCl <sub>4</sub>		unpolar

DK = Dielektrizitätskonstante

## Wasserstoffbrückenbindung und pK<sub>a</sub>-Wert



Tendenz zur H-Brückebildung steigt mit zunehmender Säurestärke (abnehmender pK<sub>a</sub>)



Säure	pK <sub>a</sub>	Säure	pK <sub>a</sub>
HO-H	15,7	HCOO-H	3,8
CH <sub>3</sub> O-H	15,5	CH <sub>3</sub> COO-H	4,8
CH <sub>3</sub> CH <sub>2</sub> O-H	15,9	FCH <sub>2</sub> COO-H	2,7
CF <sub>3</sub> CH <sub>2</sub> O-H	12,4	CF <sub>3</sub> COO-H	-0,3

## Nukleophile Substitution am gesättigten Kohlenstoff und am Silicium

$R-OH + HX \rightleftharpoons R-X + H_2O$	Veresterung von Alkoholen mit Halogenwasserstoffsäuren und anderen anorganischen Säuren; saure Verseifung von Alkylhalogeniden, -sulfaten usw.
$+ R'OH \rightleftharpoons R-OR' + H_2O$	saure Veretherung; Etherspaltung
$R-X^{1)} + OH^- \longrightarrow R-OH + X^-$	alkalische Verseifung
$+ OR'^- \longrightarrow R-OR' + X^-$	Williamson-Ethersynthese
$+ R'COO^- \longrightarrow R-O-COR' + X^-$	Synthese von Carbonsäureestern
$+ SH^- \longrightarrow R-SH + X^-$	Synthese von Thiolen
$+ SR'^- \longrightarrow R-SR' + X^-$	Synthese von Thioethern
$+ SR'_2 \longrightarrow R-\overset{\oplus}{SR}'_2 + X^-$	Bildung von Sulfoniumverbindungen
$+ NHR'_2 \longrightarrow R-NR'_2 + HX$	Alkylierung von Aminen
$+ NR'_3 \longrightarrow R-\overset{\oplus}{NR}'_3 + X^-$	Quaternisierung von Aminen
$+ CN^- \longrightarrow R-CN + X^-$ (+ R-NC)	Kolbe-Nitrilsynthese (Synthese von Isocyaniden)
$+ NO_2^- \longrightarrow R-NO_2 + X^-$ (+ R-O-NO)	Synthese von Nitroalkanen (Salpetrigsäureester)
$+ X'^- \longrightarrow R-X' + X^-$	Finkelstein-Reaktion
$R-X + \begin{array}{c} e \\   \\ ICH-COR \\   \\ COR \end{array} \longrightarrow R-\overset{ }{CH-COR} + X^-$	Alkylierung von $\beta$ -Dicarbonylverbindungen
$R-X + \text{C}_6\text{H}_5 \xrightarrow{AlCl_3} \text{C}_6\text{H}_5-R + HX$	Friedel-Crafts-Alkylierung
$\begin{array}{c}   \\ -Si-X \\   \end{array} + NHR_2 \longrightarrow \begin{array}{c}   \\ -Si-NR_2 \\   \end{array} + HX$	Synthese von Trialkylsilylaminen
$+ CN^- \longrightarrow \begin{array}{c}   \\ -Si-CN \\   \end{array} + X^-$	Synthese von Trialkylsilylcyanid
$+ N_3^- \longrightarrow \begin{array}{c}   \\ -Si-N_3 \\   \end{array} + X^-$	Synthese von Trialkylsilylazid

<sup>1)</sup>  $-X = -Cl, -Br, -I, -O-SO_2OH$  (Monoalkylsulfat),  $-O-SO_2OR$  (Dialkylsulfat),  
 $-O-SO_2-\text{C}_6\text{H}_4-\text{CH}_3$  (Toluenensulfat, „Tosylate“)